

A. Quarteroni, F. Saleri, P. Gervasio  
**Calcolo Scientifico**  
 6a Edizione. Springer, Milano 2017

**Errata Corrige** (April 11, 2023)

**pag. 83, riga 9:**

“prima con  $x^{(0)} = 0.45$  e poi con  $x^{(0)} = 0.55$ ”

diventa

“prima con  $x^{(0)} = 0.4$  e poi con  $x^{(0)} = 0.55$ ”

**pag. 91, riga -11:**

“di  $f$  di  $f$ ” diventa “di  $f$ ”

**pag. 108:**

Il risultato della Prop. 3.3 è valido se i nodi  $x_i$  sono equispaziati.

**pag. 110, riga -4:**

“rhs = [der0; rhs; dern];” diventa “rhs = [der0\*0.5; rhs; dern\*0.5];”

**pag. 144, riga -2:**

“artimetrica” diventa “aritmetica”

**pag. 162, riga 3:**

“Si veda l’Osservazione 5.1” va tolto.

**pag. 199, riga -2:** “l’algoritmo del gradiente coniugato preconditionato”

diventa

“l’algoritmo del gradiente preconditionato”

**pag. 204, riga 13:**

“ed un vettore  $\mathbf{v} \in \mathbb{R}^n$ ”

diventa

“ed un vettore non nullo  $\mathbf{v} \in \mathbb{R}^n$ ”

**pag. 204, riga 15:**

“è detto *sottospazio di Krylov* di dimensione  $k$  in  $\mathbb{R}^n$ ”

diventa

“è detto *sottospazio di Krylov* in  $\mathbb{R}^n$ . Si può dimostrare che la dimensione di  $\mathcal{K}_k(A, \mathbf{v})$  è al più uguale a  $k$ .”

**pag. 204:** formula (5.97)

$$\mathbf{r}^{(k)} \perp (\mathbf{x}^{(0)} + \mathcal{K}_k(A, \mathbf{r}^{(0)}))$$

2

diventa

$$\mathbf{r}^{(k)} \perp \mathcal{K}_k(\mathbf{A}, \mathbf{r}^{(0)})$$

**pag. 254, riga -7:**

“poniamo  $\mathbf{x}_i^{(0)} = \tilde{\mathbf{x}} + \eta \mathbf{e}_i$  per  $i = 0, \dots, n$ ,”

diventa

“poniamo  $\mathbf{x}_0^{(0)} = \tilde{\mathbf{x}}$  e  $\mathbf{x}_i^{(0)} = \tilde{\mathbf{x}} + \eta \mathbf{e}_i$  per  $i = 1, \dots, n$ ,”

**pag. 258:**, formula (7.32)

$$f(\mathbf{x}) = \frac{2}{5} - \frac{1}{10}(5x_1^2 + 5x_2^2 + 3x_1x_2 - x_1 - 2x_2)e^{-(x_1^2+x_2^2)}$$

diventa

$$f(\mathbf{x}) = \frac{2}{5} - \frac{1}{10}(5x_1^2 + 5x_2^2 + 6x_1x_2 - x_1 - 2x_2)e^{-(x_1^2+x_2^2)}$$

**pag. 271:**, formula (7.46) (*Fletcher-Reeves (1964)*)

$$\beta_k^{FR} = \frac{\|\nabla f(\mathbf{x}^{(k)})\|^2}{\|\nabla f(\mathbf{x}^{(k-1)})\|^2}$$

diventa

$$\beta_k^{FR} = \frac{\|\nabla f(\mathbf{x}^{(k+1)})\|^2}{\|\nabla f(\mathbf{x}^{(k)})\|^2}$$

**pag. 271:**, formula (7.47) (*Polak-Ribière (1969)*)

$$\beta_k^{PR} = \frac{\nabla f(\mathbf{x}^{(k)})^T (\nabla f(\mathbf{x}^{(k)}) - \nabla f(\mathbf{x}^{(k-1)}))}{\|\nabla f(\mathbf{x}^{(k-1)})\|^2}$$

diventa

$$\beta_k^{PR} = \frac{\nabla f(\mathbf{x}^{(k+1)})^T (\nabla f(\mathbf{x}^{(k+1)}) - \nabla f(\mathbf{x}^{(k)}))}{\|\nabla f(\mathbf{x}^{(k)})\|^2}$$

**pag. 271:**, formula (7.48) (*Hestenes-Stiefel (1952)*)

$$\beta_k^{HS} = \frac{\nabla f(\mathbf{x}^{(k)})^T (\nabla f(\mathbf{x}^{(k)}) - \nabla f(\mathbf{x}^{(k-1)}))}{\mathbf{d}^{(k-1)T} (\nabla f(\mathbf{x}^{(k)}) - \nabla f(\mathbf{x}^{(k-1)}))}$$

diventa

$$\beta_k^{HS} = \frac{\nabla f(\mathbf{x}^{(k+1)})^T (\nabla f(\mathbf{x}^{(k+1)}) - \nabla f(\mathbf{x}^{(k)}))}{\mathbf{d}^{(k)T} (\nabla f(\mathbf{x}^{(k+1)}) - \nabla f(\mathbf{x}^{(k)}))}$$

**pag. 307, riga 4:**

“1. limitata e continua rispetto ad entrambi gli argomenti”

diventa

“1. limitata e continua rispetto al primo argomento”

**pag. 314-315:** (dalla penultima riga di pag. 314 alla formula (8.22) inclusa)

“Qualora  $\rho_0 = 0$  e  $h < 1/L$  (per cui  $|1 + hL| < 2$ ),<sup>1</sup> ripartendo dalla terz'ultima riga di (8.20) otteniamo

$$\begin{aligned} |u_n - z_n| &\leq (1 + hL)^n |\rho_0| + [1 + (1 + hL) + \dots + (1 + hL)^{n-1}] h\varepsilon \\ &\leq 2nh\varepsilon \end{aligned}$$

ed una stima più accurata di  $C$  (indipendente da  $L$ ) è

$$C \leq S_2 = 2(T - t_0). \quad (8.22)$$

”

diventa

“Qualora  $-L < \frac{\partial f}{\partial y}(t, y) < 0$  e  $h < 2/L$  (per cui si ha  $|1 + h\partial f(t, y)/\partial y| < 1$ )<sup>2</sup> grazie al teorema del valor medio (si veda la Sez. 1.6.3) esiste un punto  $\xi_{n-1}$  tra  $u_{n-1}$  e  $z_{n-1}$  tale che

$$\begin{aligned} u_n - z_n &= (u_{n-1} - z_{n-1}) + h \frac{\partial f}{\partial y}(t_{n-1}, \xi_{n-1})(u_{n-1} - z_{n-1}) + h\rho_n \\ &= (1 + h \frac{\partial f}{\partial y}(t_{n-1}, \xi_{n-1}))(u_{n-1} - z_{n-1}) + h\rho_n \end{aligned}$$

e

$$\begin{aligned} |u_n - z_n| &\leq (1 + h \frac{\partial f}{\partial y}(t_{n-1}, \xi_{n-1})) |u_{n-1} - z_{n-1}| + h\varepsilon \\ &\leq |u_{n-1} - z_{n-1}| + h\varepsilon \leq (1 + nh)\varepsilon \\ &\leq (1 + (T - t_0))\varepsilon. \end{aligned}$$

Una stima di  $C$  indipendente da  $L$  e più accurata di (8.19) è

$$C \leq S_2 = 1 + (T - t_0). \quad (8.22)$$

”

**pag. 315, riga -13:**

<sup>1</sup> Questa limitazione su  $h$  è più restrittiva del necessario nei casi in cui  $f$  sia derivabile rispetto al suo secondo argomento con derivata negativa. Si veda la Sezione 8.5

<sup>2</sup> Questa limitazione su  $h$  è più restrittiva del necessario nei casi in cui  $f$  sia derivabile rispetto al suo secondo argomento con derivata negativa. Si veda la Sezione 8.5

“La costante di Lipschitz associata a  $f(t, y) = 5\cos(2y)$  è  $L = 10$ .”

diventa

“La costante di Lipschitz associata a  $f(t, y) = 5\cos(2y)$  è  $L = 10$  e  $\partial f(t, y)/\partial y \in [-10, 0]$  per ogni  $t \in [0, 10]$  e per ogni  $y \in [0, \pi/4]$ .”

**pag. 315, riga -10:**

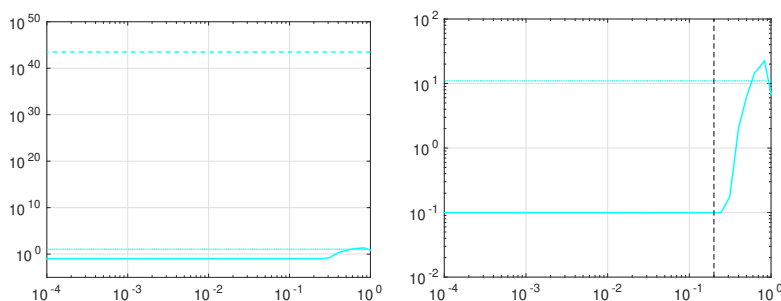
“per  $h < 1/L = 1/10$ ”

diventa

“per  $h < 2/L = 1/5$ ”

**pag. 315:**

I grafici di Figura 8.3 vanno sostituiti con i seguenti



**pag. 352, riga 4:**

“ Quando le parti reali degli autovalori  $\lambda_k$  della matrice Jacobiana  $A(t) = [\partial \mathbf{F}/\partial \mathbf{y}](t, \mathbf{y})$  di  $\mathbf{F}$  sono tutte negative, possiamo porre  $\lambda = -\max_t \rho(A(t))$ , dove  $\rho(A(t))$  è il raggio spettrale di  $A(t)$ . Questo  $\lambda$  è il naturale candidato a rimpiazzare quello che interviene nelle condizioni di stabilità (come ad esempio (8.41)) derivate per il problema di Cauchy scalare.”

va sostituito con:

“ Quando gli autovalori  $\lambda_k$  della matrice Jacobiana  $A(t) = [\partial \mathbf{F}/\partial \mathbf{y}](t, \mathbf{y})$  di  $\mathbf{F}$  sono tutti reali e negativi, possiamo porre  $\lambda = -\max_t \rho(A(t))$ , dove  $\rho(A(t))$  è il raggio spettrale di  $A(t)$ . Questo  $\lambda$  è il naturale candidato a rimpiazzare quello che interviene nella condizione di stabilità (8.41) derivata per il problema di Cauchy scalare. Nel caso invece in cui gli autovalori di  $A(t)$  siano complessi, essi devono (tutti) verificare la condizione (8.47).”

**pag. 359, riga -11:** “La *function* `ode23s` di MATLAB implementa un metodo *multistep* lineare implicito basato sui metodi di Rosenbrock”

va sostituito con:

“La *function* `ode23s` di MATLAB implementa un metodo ad un passo basato sul metodo di Rosenbrock”

**pag. 387, riga 6:**

“*funzioni!di forma*” diventa “*funzioni di forma*”

**pag. 441, riga 12:**

“in un intorno del punto  $x^{(0)}$ ”

diventa

“in un intorno del punto  $x^{(k)}$ ”

**pag. 444, riga -20:**

“con  $x^{(0)} = 0.45$ ”

diventa

“con  $x^{(0)} = 0.4$ ”

**pag. 445, riga 3:**

“(azzurro in linea tratteggiata)” diventa “(azzurro in linea continua)”

**pag. 445, riga 4:**

“(azzurro in linea continua)” diventa “(azzurro in linea tratteggiata)”

**pag. 449, riga 10-11:**

“fissiamo tolleranza `tol=1.e-8`”

diventa

“fissiamo tolleranza `tol=1.e-6`”

**pag. 449, riga -10:**

“ovvero Newton è converge” diventa “ovvero Newton converge”

**pag. 499:**

La terzultima riga del programma 10.7 `bvp_fd_upwind_1d.m`

`f(end) = f(end)+ub*(hm-hd);`

va sostituita con:

`f(end) = f(end)+ub*hm;`